(12)

## DEMANDE DE BREVET EUROPEEN

(43) Date de publication:

03.05.2006 Bulletin 2006/18

(51) Int Cl.:

G01B 11/06 (2006.01)

(11)

G01J 5/00 (2006.01)

(21) Numéro de dépôt: 05447208.9

(22) Date de dépôt: 19.09.2005

(84) Etats contractants désignés:

AT BE BG CH CY CZ DE DK EE ES FI FR GB GR HU IE IS IT LI LT LU LV MC NL PL PT RO SE SI SK TR

Etats d'extension désignés:

AL BA HR MK YU

(30) Priorité: 27.10.2004 BE 200400524

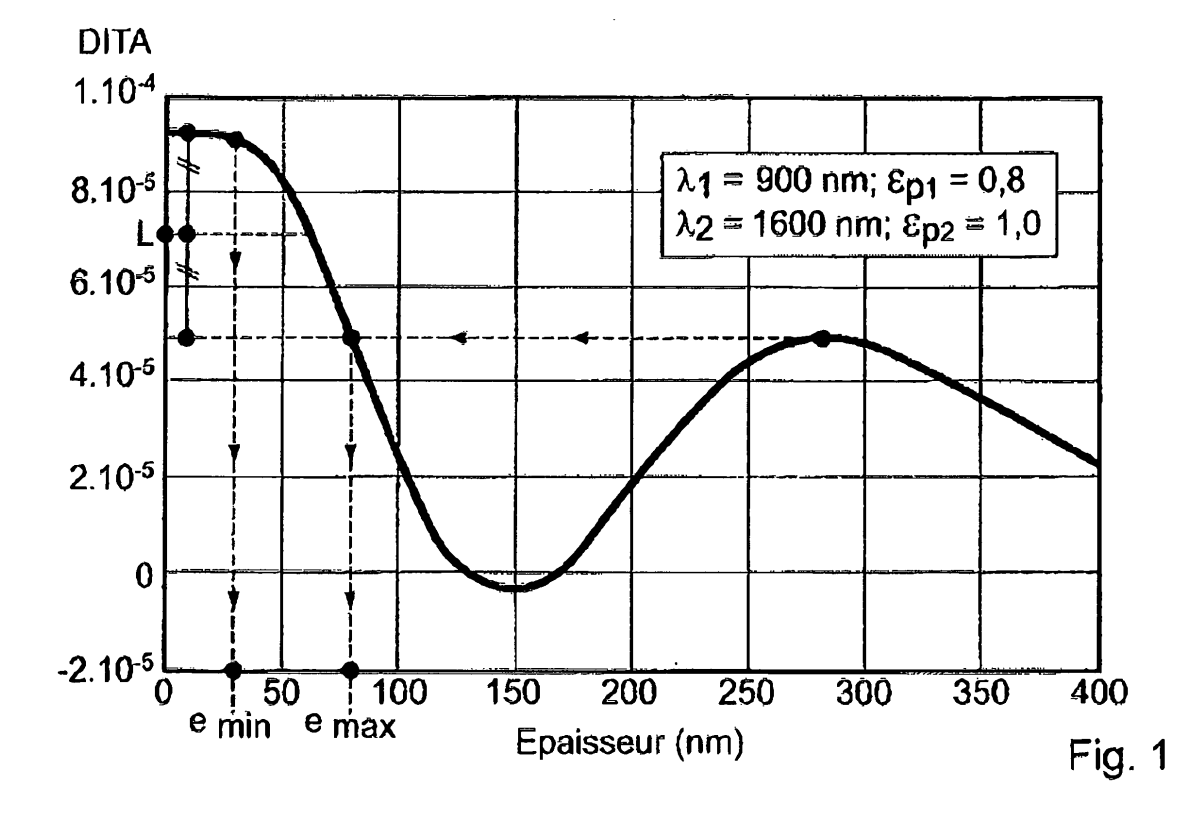
(71) Demandeur: Centre De Recherches Metallurgiques 1200 Bruxelles (BE)

(72) Inventeurs:

- Franssen, Roger 4850 Plombieres (BE)
- Schyns, Marc 4690 Bassenge (BE)
- · Bordignon, Michel 4140 Sprimont (BE)
- (74) Mandataire: Van Malderen, Michel et al Office van Malderen 85/043 Boulevard de la Sauvenière 4000 Liège (BE)

#### Procédé amélioré et appareil pour la mesure de l'épaisseur d'une couche d'oxyde (54)

La présente invention se rapporte à un procédé pour la mesure sans contact et en temps réel de l'épaisseur (e) d'une couche d'oxyde déposée sur un substrat métallique, de préférence une bande d'acier en mouvement destinée à un traitement ultérieur de galvanisation au trempé à chaud, en se basant sur la mesure des températures apparentes absolues (T<sub>Aa1</sub>, T<sub>Aa2</sub>) à deux longueurs d'onde choisies arbitrairement, une longueur d'onde inférieure ( $\lambda_1$ ) et une longueur d'onde supérieure  $(\lambda_2)$ , à savoir en calculant la différence des inverses desdites températures, appelée paramètre DITA, et en mettant la valeur de ce paramètre en relation univoque avec l'épaisseur à mesurer.



## Description

20

30

35

40

45

50

55

#### Objet de l'invention

[0001] La présente invention se rapporte à un procédé amélioré pour la mesure de l'épaisseur, éventuellement simultanément avec celle de la température, d'une couche d'oxyde déposée sur un substrat en mouvement à grande vitesse, de préférence une bande métallique chaude destinée à un traitement de galvanisation au trempé à chaud.

[0002] L'invention se rapporte également à l'installation pour la mise en oeuvre du procédé amélioré.

[0003] Les améliorations de la présente demande doivent s'entendre par rapport aux caractéristiques du procédé et de l'installation décrits dans la demande de brevet belge BE 2004/0220, déposée le 03.05.2004 au nom du même demandeur et non encore publiée. Le contenu de la demande précitée est incorporé par référence à la présente demande. Le vocabulaire et la terminologie de la présente demande doivent donc s'entendre dans le contexte de cette demande antérieure.

### 15 Arrière-plan technologique et état de la technique

**[0004]** Pour rappel, un objet de l'invention selon BE 2004/0220 se rapporte à un procédé pour la mesure sans contact, simultanée et en temps réel de l'épaisseur (e) et la température (T) d'une couche d'oxyde déposée sur un substrat métallique, de préférence une bande d'acier en mouvement destinée à un traitement ultérieur de galvanisation au trempé à chaud.

[0005] Ce procédé utilise une installation, notamment représentée sur la figure 4, comprenant une source de lumière 1 présentant un spectre essentiellement continu s'étendant au moins d'une longueur d'onde inférieure  $(\lambda_1)$  à une longueur d'onde supérieure  $(\lambda_2)$  et formant, par l'intermédiaire d'un premier moyen optique, de préférence une lentille 2, une petite tache lumineuse à la surface du substrat 3a revêtu d'une couche d'oxyde 3b, un obturateur 4 positionné entre la source de lumière 1 et le substrat 3a revêtu, un second moyen optique, de préférence une lentille 5, formant l'image de la surface de ladite tache sur la fente d'entrée 6 d'un spectromètre optique 7 dont la gamme de longueurs d'onde s'étend également au moins de la longueur d'onde inférieure  $(\lambda_1)$  à la longueur d'onde supérieure  $(\lambda_2)$ .

**[0006]** Selon le procédé de l'invention antérieure, l'épaisseur (e) de ladite couche d'oxyde est déterminée à partir de l'analyse du spectre de facteur de réflexion  $R(\lambda)$  et la température (T) est déterminée simultanément à partir de  $S1(\lambda)$  et de l'épaisseur (e), où :

- R(λ) est le spectre de l'intensité du rayonnement réfléchi sur le substrat revêtu S3(λ) divisé par le spectre de l'intensité du rayonnement incident S0(λ) de la source de lumière, où S3(λ) est lui-même obtenu en soustrayant le spectre S1(λ) du spectre S2(λ);
- S1(λ) est le spectre de l'intensité du rayonnement intrinsèque du substrat revêtu, mesuré dans une première étape au moyen dudit spectromètre, fonctionnant en l'occurrence en mode pyromètre, en fermant l'obturateur dans le chemin optique;
- S2(λ) est le spectre d'intensité du substrat revêtu mesuré dans une seconde étape au moyen dudit spectromètre, fonctionnant en l'occurrence en mode pyromètre et réflexion, en laissant ledit obturateur ouvert.

**[0007]** Toujours selon l'invention antérieure, on détermine l'épaisseur (e) de la couche d'oxyde à partir de l'analyse du spectre de facteur de réflexion  $R(\lambda)$  de 1a manière suivante :

- si le spectre de facteur de réflexion R(λ), dans la gamme opérationnelle précitée du spectromètre, c'est-à-dire (λ<sub>1</sub>, λ<sub>2</sub>), présente au moins un pic d'interférence détectable, que ce soit un maximum ou un minimum, l'épaisseur de la couche d'oxyde est déduite de la longueur d'onde de ces pics minima (λ<sub>1m</sub>, λ<sub>2m</sub>, ...) ou maxima (λ<sub>1M</sub>, λ<sub>2M</sub>, ...) à partir des propriétés optiques, de préférence l'indice de réfraction complexe, de la couche d'oxyde et du substrat, l'épaisseur de la couche d'oxyde étant comprise entre deux valeurs e<sub>1</sub> et e<sub>2</sub>;
- si aucun pic n'est détectable dans la gamme spectrale précitée, on en déduit que la couche est soit trop mince, c'est-à-dire a une épaisseur < e<sub>1</sub>, soit trop épaisse, c'est-à-dire a une épaisseur > e<sub>2</sub>, pour avoir des pics d'interférence apparaissant dans l'intervalle spectral considéré, l'atténuation de l'illumination dans la couche étant telle, lorsque cette couche est trop épaisse, qu'aucune interférence significative ne se produit, et on procède à la discrimination entre les deux cas en se basant sur la forme et l'intensité du signal de facteur de réflexion ; de préférence, on compare l'intensité du signal de facteur de réflexion [R(λ<sub>3</sub>)], prise à une troisième longueur d'onde donnée (λ<sub>3</sub>), égale à ou proche de la longueur d'onde supérieure (λ<sub>2</sub>), à un niveau d'intensité de référence prédéterminé obtenu par calibration (R<sub>ref</sub>) ; dans le cas où le signal de facteur de réflexion est plus petit que ce niveau prédéterminé [R (λ<sub>3</sub>) < R<sub>ref</sub>], on constate alors qu'une couche d'oxyde très épaisse, c'est-à-dire d'épaisseur supérieure à la valeur maximale e<sub>2</sub>, est formée ; dans le cas contraire, on constate qu'il s'agit d'une couche d'oxyde très mince, c'est-à-

- dire d'épaisseur inférieure à la valeur minimale e<sub>1</sub>;
- toujours dans ce cas de figure où la couche d'oxyde est dite très épaisse ou très mince, le traitement complémentaire suivant est requis :
  - pour la couche très mince, la valeur de l'épaisseur de la couche d'oxyde est déterminée à partir de la forme, de préférence la pente, de la courbe du facteur de réflexion spectrale R(λ);
    - pour la couche très épaisse, aucune valeur d'épaisseur n'est obtenue à partir des mesures du facteur de réflexion spectrale.
- 10 [0008] Le procédé décrit dans la demande de brevet BE 2004/0220 présente toutefois quelques inconvénients :
  - lorsqu'aucun pic du facteur de réflexion R(λ) n'est détectable dans l'intervalle spectral considéré (λ<sub>1</sub>, λ<sub>2</sub>), la distinction entre couche très mince (< e<sub>1</sub>) et très épaisse (> e<sub>2</sub>) se fait donc en se basant sur la forme et l'intensité du signal de facteur de réflexion et préférentiellement en comparant R(λ<sub>3</sub>) à un niveau d'intensité de référence R<sub>ref</sub> prédéterminé obtenu par calibration. L'expérience montre cependant que la valeur R<sub>ref</sub> peut être influencée par certains paramètres tels que la rugosité du substrat, la nuance du substrat, etc.;
  - le calcul de l'épaisseur pour les couches très minces (<e<sub>1</sub>) peut aussi être influencé par des paramètres tels que la nuance et la rugosité;
  - d'autre part, en cas de présence de pics dans le spectre, des difficultés peuvent parfois apparaître dans la détermination du facteur k décrivant l'ordre d'apparition des pics, entraînant une valeur erronée d'épaisseur calculée ;
  - enfin, les essais industriels avec visée à longue distance (par exemple 1 mètre ou plus) ont montré que la détection de minima et maxima est parfois rendue difficile par suite de fluctuations locales du rayonnement propre de la bande, lorsque sa température est telle que, dans certaines plages de longueur d'onde, le rayonnement intrinsèque S1(λ) est nettement plus élevé que le rayonnement réfléchi S3(λ).

#### Buts de l'invention

5

15

20

25

55

[0009] La présente invention vise à fournir une solution qui permette de s'affranchir des inconvénients de l'état de la technique, notamment ceux énoncés ci-dessus.

[0010] L'invention a en particulier pour but d'améliorer la précision de l'estimation de l'épaisseur du revêtement sur le substrat métallique.

#### Principaux éléments caractéristiques de l'invention

- [0011] L'invention se rapporte à des améliorations du procédé de la demande BE 2004/0220, qui prévoyait uniquement une estimation de l'épaisseur effectuée par une mesure du facteur de réflexion spectrale, telle que détaillée ci-dessus. Selon la présente invention, cette estimation d'épaisseur est également effectuée par analyse du rayonnement thermique de la bande, lorsque ce rayonnement est important, voire suffisant. La méthode de déduction de la température à partir du rayonnement thermique et de l'épaisseur reste inchangée par rapport à la demande BE 2004/0220.
- 40 [0012] Ainsi, un premier objet de l'invention est de proposer un procédé amélioré de détermination de l'épaisseur de la couche d'oxyde, selon les termes de la revendication 1. Plus précisément, ladite épaisseur est déterminée à partir de l'analyse du spectre du facteur de réflexion et à partir de la mesure de températures apparentes absolues du substrat revêtu à au moins deux longueurs d'onde, ladite mesure étant réalisée au moyen du spectromètre fonctionnant en mode pyromètre et éventuellement d'un pyromètre ou détecteur supplémentaire extérieur au spectromètre.
- [0013] Des modalités préférées du procédé de l'invention sont détaillées dans les revendications 2 à 15.
  - [0014] Un deuxième objet de l'invention est de proposer une installation modifiée selon les termes de la revendication 16.
  - [0015] Des formes d'exécution préférées de l'installation sont également détaillées dans les revendications 17 à 24.

## 50 Brève description des figures

**[0016]** La figure 1 représente graphiquement l'évolution théorique simulée du paramètre DITA, défini ci-après, en fonction de l'épaisseur du revêtement, dans le cas d'un dépôt FeO sur Fe, correspondant à une lecture sur des pyromètres monochromatiques travaillant respectivement à 1600 et 900 nm, la gamme d'épaisseur univoque délimitée par  $e_{min}$  et  $e_{max}$ , ainsi qu'un seuil L sur l'échelle DITA servant à discriminer les couches très minces des couches très épaisses.

[0017] La figure 2 représente graphiquement l'évolution théorique simulée du paramètre DITA, en fonction de l'épaisseur du revêtement mais avec des pyromètres monochromatiques à 3900 et 900 nm respectivement.

[0018] La figure 3 correspond à la figure 2 mais avec des pyromètres monochromatiques à 1000 et 800 nm respec-

tivement.

5

10

25

30

35

45

50

55

[0019] La figure 4, déjà mentionnée, représente schématiquement un exemple d'appareil de mesure prévu pour la mise en oeuvre du procédé de l'invention.

#### Description d'une forme d'exécution préférée de l'invention

#### BASE THEORIQUE DES AMELIORATIONS

#### Définitions

**[0020]** On appelle température apparente  $T_A$  d'un pyromètre, l'indication donnée par ce pyromètre lorsqu'il vise une cible ayant une température réelle de surface  $T_C$  et une émissivité  $\epsilon_c$ , le réglage de correction de l'émissivité du pyromètre étant ajusté à la valeur  $\epsilon_p$ .

[0021] Lorsque  $\varepsilon_p = \varepsilon_c$ , on a :  $T_A = T_C$ .

[0022] Lorsque les températures sont exprimées sous forme de températures absolues, on utilise dans ce contexte les notations T<sub>As</sub> et T<sub>Ca</sub>.

#### Base théorique

[0023] De la loi de Wien, applicable lorsque  $\lambda^*T_{Ca}$  est beaucoup plus petit que c2 (valant 14388 lorsque la longueur d'onde est exprimée en  $\mu$ m et la température en Kelvin), on peut déduire aisément que :

$$1/T_{Aa} = 1/T_{Ca} - (\lambda/c2) * ln(\epsilon_{c/}\epsilon_{p}) (1).$$

**[0024]** Si on effectue maintenant des mesures à deux longueurs d'onde différentes  $(\lambda_1, \lambda_2)$ , on peut écrire :

$$1/T_{Aa2} - 1/T_{Aa1} = (\lambda_1/c_2) * ln(\epsilon_{c1}/\epsilon_{p1}) - (\lambda_2/c_2) * ln(\epsilon_{c2}/\epsilon_{p2})$$
 (2).

[0025] La relation (2) montre que, théoriquement, lorqu'on utilise des pyromètres monochromatiques ou à spectre très étroit, la différence des inverses des températures apparentes absolues, en abrégé DITA, dépend donc uniquement des émissivités de la cible aux deux longueurs d'onde choisies et du réglage d'émissivité choisi pour ces deux longueurs d'onde. Elle est donc indépendante de la température réelle de la cible. Le lecteur remarquera encore que la notation des longueurs d'onde dans cette section ne désigne pas les valeurs limites de l'intervalle spectral comme dans la section ci-dessus et dans la demande de brevet antérieure, mais deux longueurs d'onde arbitrairement choisies.

40 [0026] Dans le présent contexte, pour éviter toute confusion, on définira donc :

DITA = 
$$1/T_{Aa2} - 1/T_{Aa1}$$
 (3)

avec  $\lambda_2 > \lambda_1$ .

**[0027]** Cependant, le principe général à la base de la présente invention est inchangé si on inverse le rôle de  $\lambda_1$  et  $\lambda_2$ . Dans la suite de l'exposé, on raisonnera sur base de l'expression (3).

#### BASE EXPERIMENTALE

[0028] Les simulations théoriques, représentées sur les figures 1 à 3, ont été confirmées par des résultats expérimentaux. Ceux-ci montrent donc que, dans une certaine gamme d'épaisseur, dépendant des deux longueurs d'onde arbitrairement choisies pour le procédé, l'épaisseur peut être estimée à partir de la différence des inverses des températures apparentes (DITA), ce qui est une méthode particulièrement simple. Si on sort de cette gamme d'épaisseur particulière, la relation n'est plus univoque. Le choix des longueurs d'onde des pyromètres est donc très important. Ainsi, la figure 1 montre que si on prend les pyromètres à 900 et à 1600 nm, le paramètre DITA donne univoquement une épaisseur de revêtement par exemple comprise entre  $e_{min} = 30$  et  $e_{max} = 80$  nm environ. Si le processus de formation

de la couche est tel que que l'épaisseur ne dépasse jamais 150 nm, la plage utile peut alors s'étendre jusqu'à environ  $e_{max}$  = 150 nm. Pour des longueurs d'onde de pyromètres à 900 et 3900 nm, l'épaisseur peut être déterminée entre  $e_{min}$  = 50 nm et respectivement  $e_{max}$  = 240 ou 300 nm (épaisseur a priori inférieure à 320 nm) environ (voir figure 2). Enfin, pour des pyromètres réglés sur 800 et 1000 nm, on constate une oscillation marquée du paramètre DITA qui impose de choisir une plage plus restreinte d'épaisseurs mesurables, par exemple entre  $e_{min}$  = 20 nm et respectivement  $e_{max}$  = 55 ou 100 nm (épaisseur a priori inférieure à 110 nm).

**[0029]** Les améliorations proposées pour le procédé consistent alors en un traitement différent du signal suivant l'importance du rayonnement propre de la bande :

- 1. Si 1e rayonnement thermique de la bande  $S1(\lambda)$  n'est pas détectable ou est négligeable par rapport au signal réfléchi  $S3(\lambda)$  pour l'ensemble de la gamme spectrale considérée du spectromètre, la méthode dite DITA n'est pas applicable et on utilise la méthode de calcul de l'épaisseur telle que décrite dans la demande BE 2004/0220 (voir ci-dessus).
- 2. Si le rayonnement thermique S1(λ) est détectable et ne dépasse pas le niveau du signal réfléchi S3(λ) multiplié par un facteur K (K>0) déterminé expérimentalement pour l'entièreté de la gamme spectrale du spectromètre, l'expérience montre que la méthode de la détection de minima et maxima d'interférence est plus précise que la méthode DITA. La valeur de K peut être inférieure ou supérieure à 1 et est fortement dépendante de la configuration géométrique ou optique retenue. On utilise alors la méthode de la détection des minima et maxima d'interférences avec les modifications suivantes :
  - Distinction entre couches très minces et très épaisses (pas de pic)

10

25

30

35

40

45

- La distinction entre couche très mince(< e1) et très épaisse (> e2) peut se faire en mesurant les températures apparentes absolues à ces deux longueurs d'onde  $(\lambda_1, \lambda_2)$ , après étalonnage préalable devant corps noir, en calculant ensuite la différence des inverses de ces températures absolues et en comparant le résultat obtenu à un seuil L. Ce seuil est par exemple fixé à une valeur égale à environ la moyenne arithmétique de la valeur DITA obtenue pour une couche d'épaisseur égale à ou proche de 0 nm et à la valeur du paramètre DITA atteinte au deuxième maximum de la courbe (voir figure 1). Lorsque la valeur DITA est supérieure au seuil L, la couche est considérée comme très mince. Sinon, elle est considérée comme très épaisse. La longueur d'onde inférieure sera choisie aussi courte que possible, mais suffisamment élevée que pour assurer un rapport signal/bruit convenant à la mesure de la température apparente (par exemple dans la gamme 700 à 1000 nm). Pour la longueur d'onde supérieure, plusieurs options existent :
- prendre une longueur d'onde aussi élevée que possible dans la gamme spectrale du spectromètre (par exemple 1600 nm);
- choisir une longueur d'onde en dehors de la gamme du spectromètre, en utilisant
  - soit un pyromètre extérieur au dispositif visant la même zone ou une zone très proche sur la bande ;
  - soit utiliser un dispositif combinant le spectromètre et un détecteur supplémentaire sensible à la dite longueur d'onde (voir appareil sur la figure 4).
- Calcul de l'épaisseur pour des couches très minces (pas de pic ; épaisseur < e1)
  - Les températures apparentes à deux longueurs d'onde seront calculées à partir des mesures du spectromètre. La longueur d'onde inférieure sera choisie aussi courte que possible, mais suffisamment élevée que pour assurer un rapport signal/bruit convenant à la mesure de la température apparente à cette longueur d'onde. La longueur d'onde supérieure devra être judicieusemnt choisie pour couvrir une plage d'épaisseur s'étendant au moins jusqu'à e1. On peut, par exemple choisir la longueur d'onde inférieure  $\lambda_1$  dans une gamme allant de 700 à 900 nm et la longueur d'onde supérieure  $\lambda_2$  dans une gamme allant de  $\lambda_1$  + 100 nm à  $\lambda_1$  + 300 nm. On calcule DITA et on en déduit l'épaisseur.
- Calcul de l'épaisseur pour des couches très épaisses (pas de pic; épaisseur > e2)
   Les températures apparentes à deux longueurs d'onde seront calculées à partir des mesures du spectromètre.
   La longueur d'onde inférieure sera choisie par exemple aussi courte que possible, mais suffisamment élevée que pour assurer un rapport signal/bruit convenant à la mesure de la température apparente à cette longueur d'onde. La longueur d'onde supérieure sera supérieure ou égale à au moins 5 fois et de préférence 15 fois l'épaisseur maximale à mesurer. On calcule DITA et on en déduit l'épaisseur.
  - Discrimination de l'ordre des pics
    - Le calcul du paramètre DITA, obtenu à partir de la mesure de températures apparentes absolues à deux longueurs d'onde judicieusement choisies pour couvrir la plage entre e<sub>1</sub> et e<sub>2</sub>, permet de lever des incertitudes

pouvant apparaître dans la détermination de l'ordre des pics. La longueur d'onde supérieure  $\lambda_2$  sera supérieure ou égale à au moins 5 fois et de préférence 15 fois l'épaisseur maximale à mesurer. La longueur d'onde  $\lambda_2$  est choisie pour toujours permettre une détermination univoque jusqu'à la plus petite des deux valeurs constituées par  $e_2$  et la valeur maximale de l'épaisseur à mesurer (suivant courbes).

5

10

15

20

3. Si le rayonnement thermique  $S1(\lambda)$  est détectable et dépasse le niveau du signal réfléchi  $S3(\lambda)$  multiplié par le facteur K (K>0), défini ci-dessus et déterminé expérimentalement, dans au moins une plage de la gamme spectrale du spectromètre, l'épaisseur sera calculée directement à partir du paramètre DITA tel que décrit. La longueur d'onde inférieure  $\lambda_1$  sera aussi courte que possible, mais suffisamment élevée que pour assurer un rapport signal/bruit convenant à la mesure de la température apparente à cette longueur d'onde, tandis que la longueur d'onde supérieure  $\lambda_2$  sera supérieure ou égale à au moins 5 fois et idéalement 15 fois l'épaisseur maximale à détecter. Pour ce choix de longueurs d'ondes, il existe une limite inférieure sous laquelle la mesure n'est plus précise. Dans ce cas, on peut choisir un deuxième couple de longueurs d'onde  $(\lambda_3, \lambda_4)$  plus courtes (par exemple 1000 et 800 nm), permettant d'étendre la gamme vers les faibles épaisseurs. Le deuxième couple de longueurs d'ondes pourra être choisi avantageusement en utilisant les relations  $\lambda 3 \le \lambda 1$ ;  $\lambda 4 > \lambda 1$  et  $\lambda 4 - \lambda 3 \le 300$  nm.

#### Appareil de mesure

[0030] On pourra utiliser l'installation de la demande de brevet BE 2004/0220, auquel on adjoint un pyromètre à grande longueur d'onde et à spectre étroit, par exemple un pyromètre à 3,9 µm utilisé pour la mesure au travers de flammes. [0031] On peut aussi utiliser un appareil de mesure tel que représenté sur la figure 4, utilisant un détecteur supplémentaire 8 sensible à une longueur d'onde en dehors de la gamme du spectromètre 7, le rayonnement du substrat revêtu étant dirigé vers ce détecteur via un miroir 9 et une lentille 10. Afin de simplifier ou rendre plus compact le dispositif, on pourrait utiliser tout dispositif permettant de séparer le rayonnement dans la gamme spectrale du spectromètre par rapport au rayonnement dans la gamme spectrale du détecteur supplémentaire, par exemple au moyen d'un miroir dichroïque. On pourrait également utiliser tout dispositif permettant d'envoyer alternativement le rayonnement intrinsèque du produit vers le spectromètre puis vers le détecteur supplémentaire en utilisant des moyens tels que modulateurs optiques, miroirs mobiles, etc.

30

#### Revendications

35

40

1. Procédé pour la mesure sans contact et en temps réel de l'épaisseur (e) d'une couche d'oxyde déposée sur un substrat métallique, de préférence une bande d'acier en mouvement destinée à un traitement ultérieur de galvanisation au trempé à chaud, utilisant une installation comprenant une source de lumière (1) présentant un spectre essentiellement continu et formant, par l'intermédiaire d'un premier moyen optique (2), de préférence une lentille, une petite tache lumineuse à la surface (3) du substrat, un obturateur (4) positionné entre la source de lumière et le substrat, un second moyen optique (5), de préférence une lentille, formant l'image de la surface de ladite tache sur la fente d'entrée (6) d'un spectromètre optique (7) sensible dans une gamme de longueurs d'onde comprise à l'intérieur du spectre de la source de lumière, et le cas échéant un pyromètre ou un détecteur supplémentaire (8) extérieur au spectromètre (7), vers lequel est dirigé le rayonnement intrinsèque du substrat revêtu et sensible à au moins une longueur d'onde située en dehors de la gamme spectrale du spectromètre, caractérisé en ce que l'épaisseur (e) de ladite couche d'oxyde est déterminée à partir de l'analyse du spectre du facteur de réflexion R (λ), où :

45

-  $R(\lambda)$  est le spectre de l'intensité du rayonnement réfléchi sur le substrat revêtu  $S3(\lambda)$  divisé par le spectre de l'intensité du rayonnement incident  $S0(\lambda)$  de la source de lumière (1), où  $S3(\lambda)$  est lui-même obtenu en soustrayant le spectre  $S1(\lambda)$  du spectre  $S2(\lambda)$ ;

50

-  $S1(\lambda)$  est le spectre de l'intensité du rayonnement intrinsèque du substrat revêtu, mesuré dans une première étape au moyen dudit spectromètre (7), fonctionnant en l'occurrence en mode pyromètre, en fermant l'obturateur (4) dans le chemin optique ;

 $-S2(\lambda) \ est \ le \ spectre \ d'intensit\'e \ du \ substrat \ rev\ et u mesur\'e \ dans \ une \ seconde \ \'et ape \ au \ moyen \ dudit \ spectrom\`etre \ (7), fonctionnant \ en \ l'occurrence \ en \ mode \ pyrom\`etre \ et \ r\'eflexion, \ en \ laissant \ ledit \ obturateur \ (4) \ ouvert \ ;$ 

55

et à partir de la mesure de températures apparentes absolues du substrat revêtu à au moins deux longueurs d'onde, lesdites mesures étant réalisées au moyen du spectromètre (7) fonctionnant en mode pyromètre et, le cas échéant, du pyromètre ou détecteur supplémentaire (8).

2. Procédé selon la revendication 1, **caractérisé en ce que** l'on détermine l'épaisseur (e) de la couche d'oxyde de la manière suivante, dans le cas où le rayonnement intrinsèque S1(λ) du substrat revêtu est détectable sans dépasser K fois (K>0) la valeur du signal réfléchi S3(λ) sur l'ensemble de la gamme spectrale du spectromètre :

5

25

30

45

- si le spectre du facteur de réflexion  $R(\lambda)$ , dans la gamme opérationnelle du spectromètre présente au moins un pic d'interférence détectable, que ce soit un maximum ou un minimum, l'épaisseur de la couche d'oxyde est déduite de la longueur d'onde de ces pics minima  $(\lambda_{1m}, \lambda_{2m}, ...)$  ou maxima  $(\lambda_{1M}, \lambda_{2M}, ...)$  à partir des propriétés optiques, de préférence l'indice de réfraction complexe, de la couche d'oxyde et du substrat, l'épaisseur de la couche d'oxyde étant comprise entre deux valeurs  $e_1$  et  $e_2$ ;
- si aucun pic n'est détectable dans l'intervalle spectral précité, on en déduit que la couche est soit trop mince, c'est-à-dire a une épaisseur < e<sub>1</sub>, soit trop épaisse, c'est-à-dire a une épaisseur > e<sub>2</sub>, pour avoir des pics d'interférence apparaissant dans l'intervalle spectral considéré, l'atténuation de l'illumination dans la couche étant telle, lorsque cette couche est trop épaisse, qu'aucune interférence significative ne se produit, et on procède à la discrimination entre les deux cas en se basant sur la mesure des températures apparentes absolues (T<sub>Aa1</sub>, T<sub>Aa2</sub>) à deux longueurs d'onde choisies dans la gamme spectrale du spectromètre (7) et le cas échéant du pyromètre ou détecteur supplémentaire (8), une longueur d'onde inférieure (λ<sub>1</sub>) et une longueur d'onde supérieure (λ<sub>2</sub>), à savoir en calculant la différence des inverses desdites températures (1/T<sub>Aa2</sub> 1/T<sub>Aa1</sub>), appelée paramètre DITA, et en comparant cette différence à un seuil prédéterminé (L), cette comparaison permettant de déterminer si la couche est très épaisse ou très mince, à savoir qu'elle est considérée comme très mince si la valeur de DITA est supérieure audit seuil (L), et comme très épaisse sinon.
  - 3. Procédé selon la revendication 2, caractérisé en ce que la valeur dudit seuil (L) est approximativement égale à la moyenne arithmétique de la valeur DITA obtenue pour une couche d'épaisseur proche ou égale à 0 et à la valeur DITA du deuxième maximum de la courbe DITA en fonction de l'épaisseur.
  - 4. Procédé selon la revendication 2 ou 3, caractérisé en ce que, si le spectre du facteur de réflexion R(λ), dans la gamme opérationnelle du spectromètre présente au moins un pic détectable, on calcule l'épaisseur (e) de la couche d'oxyde par la formule suivante :

## $e = k.\lambda_e/4n$

- où k est l'ordre d'apparition des pics dans le cas d'une croissance progressive de la couche d'oxyde (k=1 : 1 er minimum, k=2 : 1 er maximum ; k=3 : 2 ème minimum, etc.),  $\lambda_e$  est la longueur d'onde du pic considéré et n est l'indice de réfraction, le calcul du paramètre DITA obtenu à partir de la mesure des températures apparentes absolues  $(T_{Aa1}, T_{Aa2})$  aux deux dites longueurs d'onde choisies  $(\lambda_1, \lambda_2)$  étant utilisé le cas échéant pour une détermination univoque de l'ordre d'apparition des pics et donc de la valeur de k affectée à chacun des pics.
- **5.** Procédé selon la revendication 4, **caractérisé en ce que**, lorsqu'il y a plusieurs extrema, l'épaisseur (e) est le résultat du calcul de la moyenne arithmétique des épaisseurs obtenues par l'expression précitée.
  - 6. Procédé selon l'une quelconque des revendications 2 à 5, caractérisé en ce que la longueur d'onde inférieure  $(\lambda_1)$  est choisie aussi courte que possible pour autant que le rapport signal/bruit soit supérieur ou égal à 1.
  - Procédé selon la revendication 6 caractérisé en ce que la longueur d'onde inférieure (λ<sub>1</sub>) est supérieure ou égale à 700 nm.
- 8. Procédé selon l'une quelconque des revendications 2 à 7, caractérisé en ce que la longueur d'onde supérieure (λ<sub>2</sub>) est choisie soit la plus élevée possible dans la gamme spectrale du spectromètre, soit à une valeur supérieure à la borne supérieure de la gamme spectrale du spectromètre, la mesure étant réalisée dans ce dernier cas au moyen du pyromètre ou du détecteur supplémentaire (8) extérieur au spectromètre et visant une zone essentiellement proche de celle visée par ce dernier.
- 9. Procédé selon la revendication 8, caractérisé en ce que la longueur d'onde supérieure (λ<sub>2</sub>) est supérieure ou égale
   à au moins 5 fois et de préférence 15 fois l'épaisseur maximale à mesurer.
  - 10. Procédé selon la revendication 2, caractérisé en ce que, dans le cas de la détermination d'une couche très mince,

c'est-à-dire d'épaisseur inférieure à e1, la longueur d'onde inférieure  $(\lambda_1)$  est choisie aussi courte que possible tout en assurant un rapport signal/bruit supérieur ou égal à 1, la longueur d'onde supérieure  $(\lambda_2)$  étant choisie pour assurer une relation univoque entre le paramètre DITA et l'épaisseur en dessous de la valeur e1.

11. Procédé selon la revendication 2, caractérisé en ce que, dans le cas de la détermination d'une couche très épaisse, c'est-à-dire d'épaisseur supérieure à e2, la longueur d'onde supérieure (λ<sub>2</sub>) étant choisie supérieure ou égale à au moins 5 fois, et de préférence 15 fois, l'épaisseur maximale à mesurer, la longueur d'onde inférieure (λ<sub>1</sub>) étant ensuite choisie pour assurer une relation univoque entre le paramètre DITA et l'épaisseur dans la gamme s'étendant d'au moins e2 à l'épaisseur maximale à mesurer.

10

15

20

25

30

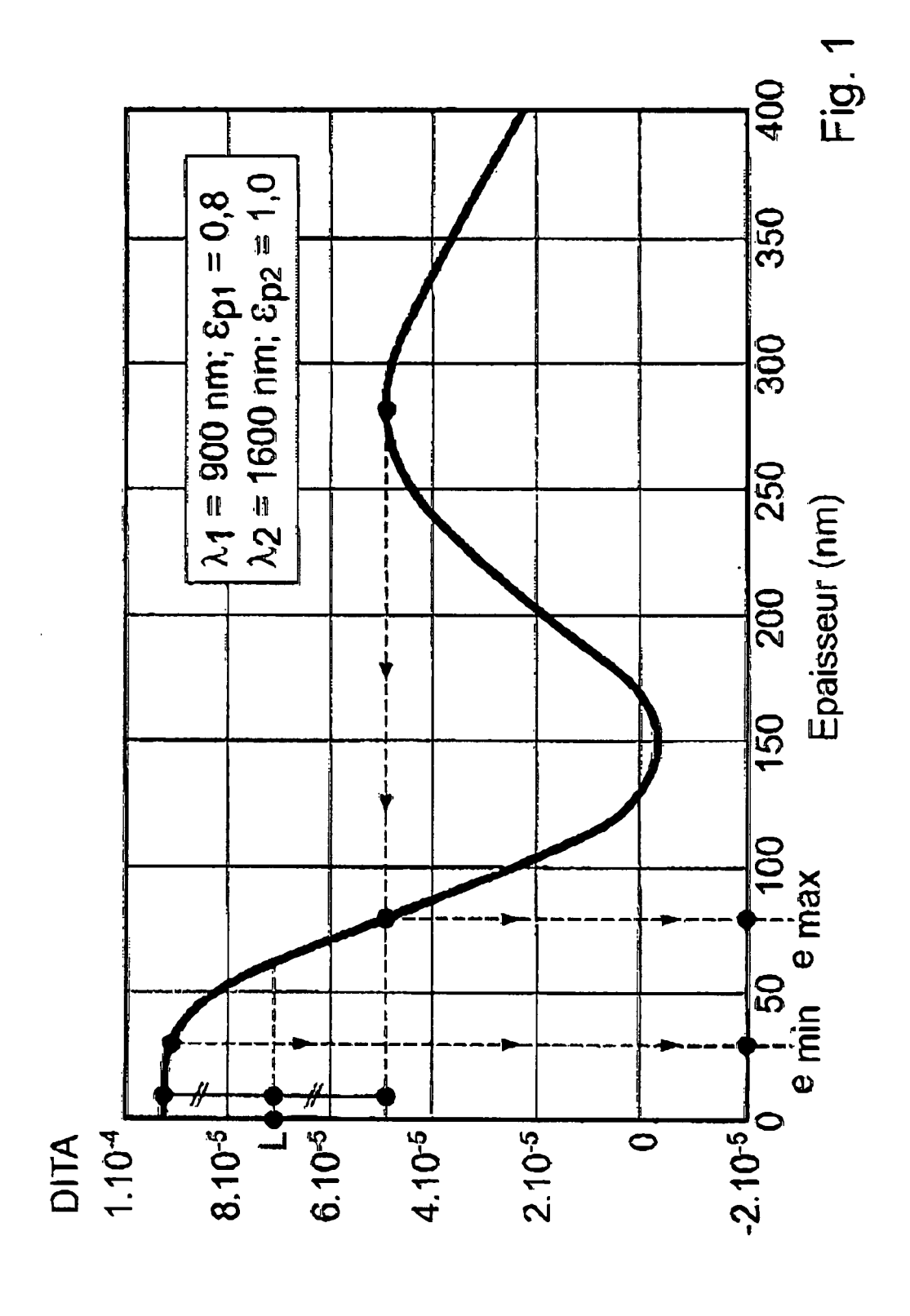
35

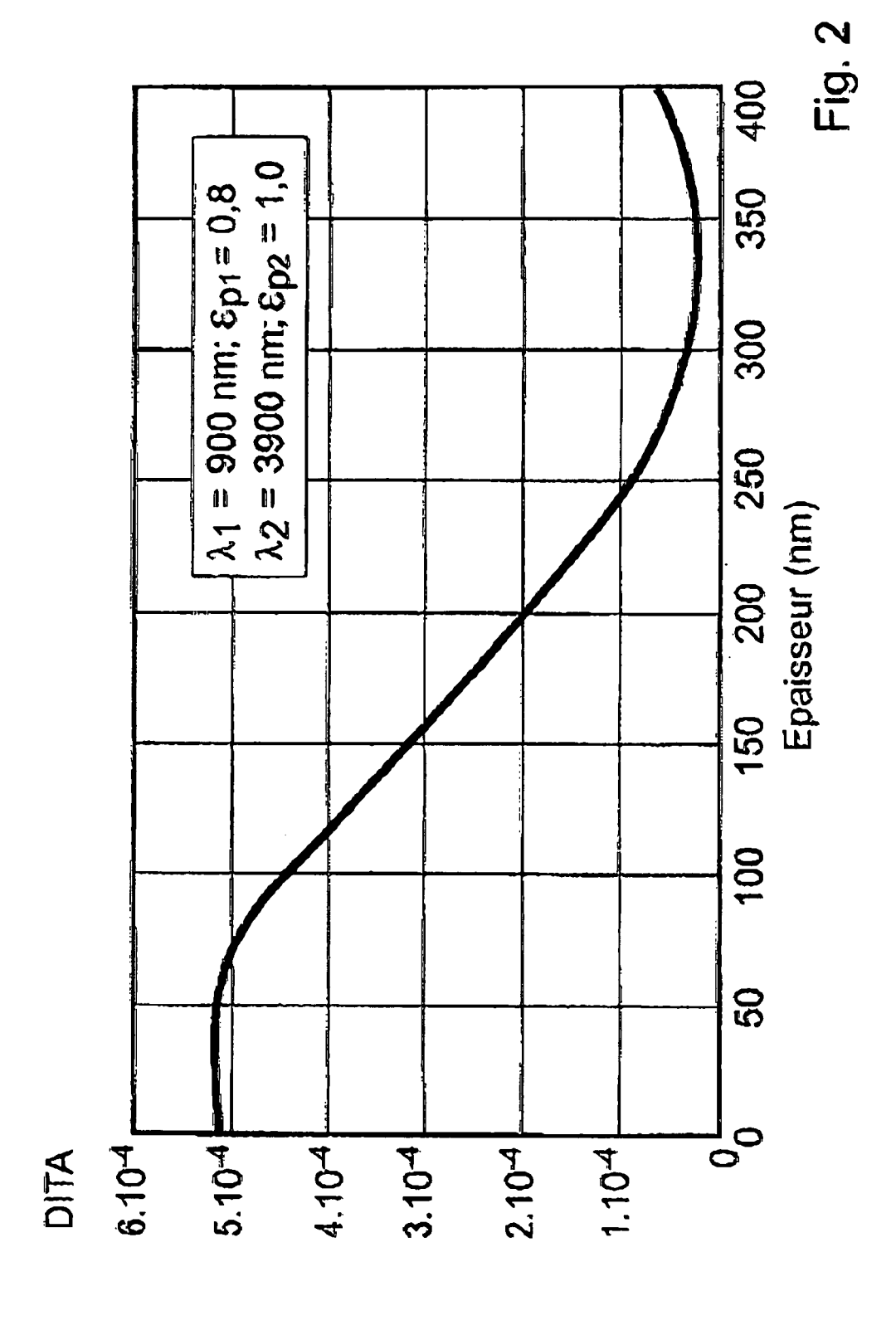
50

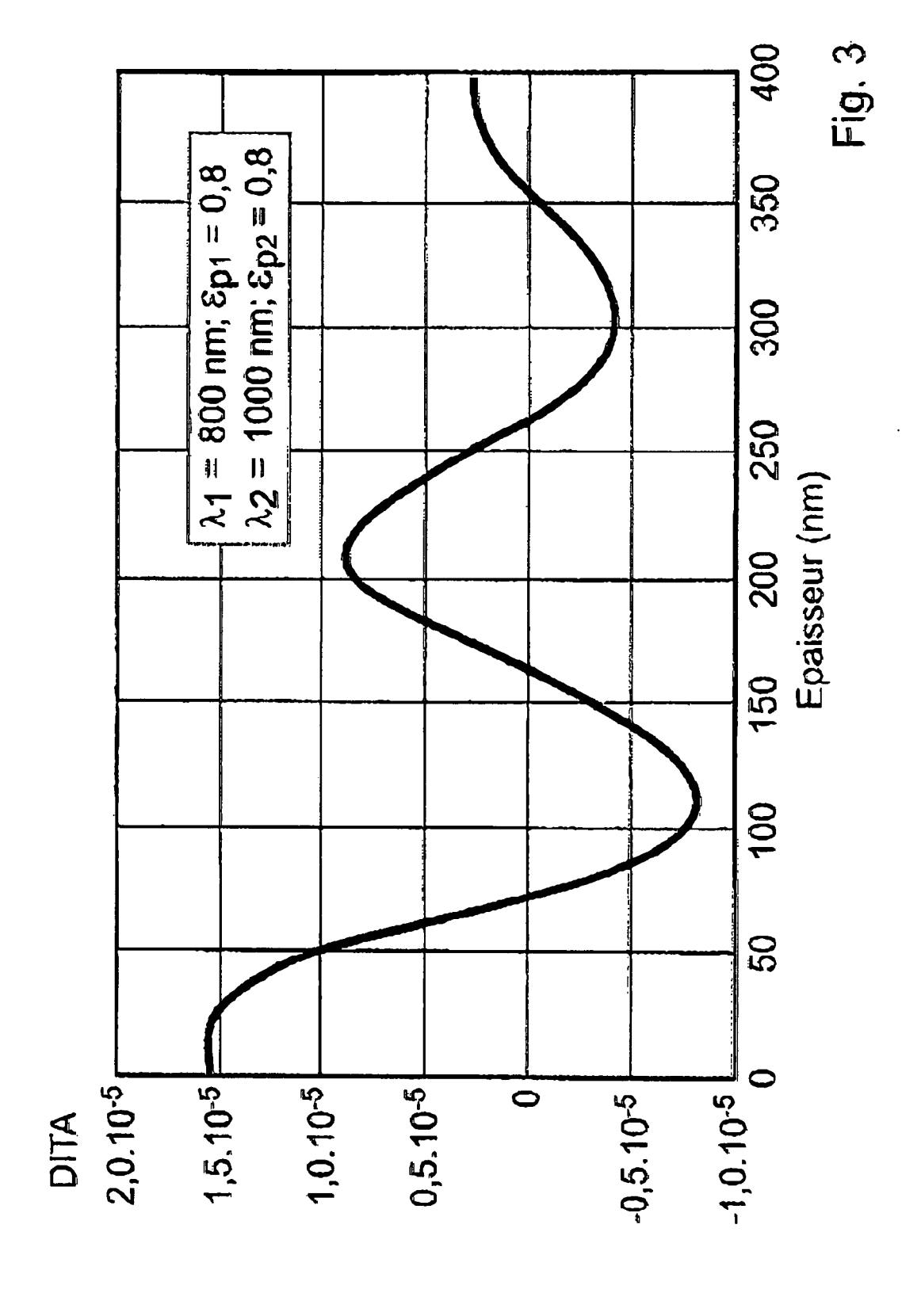
- 12. Procédé selon la revendication 1, caractérisé en ce, dans le cas où le rayonnement intrinsèque S1(λ) du substrat revêtu est détectable et dépasse en intensité la valeur du signal réfléchi S3(λ) multipliée par un facteur K (K>0) déterminé expérimentalement sur au moins une plage de la gamme spectrale du spectromètre, l'on détermine l'épaisseur (e) de la couche d'oxyde à partir du paramètre DITA, la longueur d'onde inférieure (λ₁) étant aussi courte que possible dans la gamme spectrale du spectromètre, tout en assurant un rapport signal/bruit supérieur ou égal à 1, et la longueur d'onde supérieure (λ₂) étant choisie supérieure ou égale à au moins 5 fois, de préférence 15 fois, la valeur maximale de l'épaisseur à mesurer.
- 13. Procédé selon la revendication 12, caractérisé en ce que l'on mesure le paramètre DITA à deux couples de longueurs d'onde différents  $(\lambda_1, \lambda_2)$  et  $(\lambda_3, \lambda_4)$ , de préférence en choisissant  $\lambda_3 \le \lambda_1$ ,  $\lambda_4 > \lambda_1$  et  $\lambda_4 \le \lambda_3 + 300$  nm.
  - 14. Procédé selon l'une quelconque des revendications 2 à 13, caractérisé en ce que l'épaisseur de la couche d'oxyde déterminée à partir du paramètre DITA est obtenue directement en reportant la valeur dudit paramètre sur une courbe de simulation théorique ou encore sur une courbe de calibration expérimentale acquise au préalable, montrant l'évolution dudit paramètre avec l'épaisseur de revêtement.
- **15.** Procédé selon l'une quelconque des revendications précédentes, **caractérisé en ce que** le substrat métallique est une bande d'acier en mouvement subissant une oxydation contrôlée, de préférence dans un four de chauffe, suivie d'une réduction de la couche d'oxyde formée.
- 16. Installation pour la mise en oeuvre du procédé selon l'une quelconque des revendications précédentes, caractérisé en ce qu'elle comprend une source de lumière (1) présentant un spectre essentiellement continu et formant, par l'intermédiaire d'une lentille (2), une petite tache lumineuse à la surface du substrat revêtu (3a, 3b), un obturateur (4) positionné entre la source de lumière et le substrat, une seconde lentille (5) formant l'image de la surface de ladite tache sur la fente d'entrée (6) d'un spectromètre optique (7) sensible dans une gamme de longueurs d'onde comprise à l'intérieur du spectre de la source de lumière, et un pyromètre ou un détecteur supplémentaire (8) extérieur au spectromètre (7), vers lequel est dirigé le rayonnement intrinsèque du substrat revêtu et sensible à au moins une longueur d'onde située en dehors de la gamme de longueur d'onde du spectromètre (7).
- 40 **17.** Installation selon la revendication 16, **caractérisée en ce que** le pyromètre extérieur (8) est un pyromètre à spectre étroit et sensible à une longueur d'onde supérieure ou égale à 5 fois et de préférence 15 fois l'épaisseur maximale de la couche à mesurer.
- 18. Installation selon 1a revendication 17, caractérisée en ce qu'elle comporte des moyens (9,10) pour séparer le rayonnement dans la gamme spectrale du spectromètre optique (7) de celui dans la gamme spectrale du pyromètre ou détecteur supplémentaire (8).
  - **19.** Installation selon la revendication 18, **caractérisée en ce que** lesdits moyens comprennent au moins un miroir dichroïque (9) et une lentille (10).
  - 20. Installation selon la revendication 18, caractérisée en ce qu'elle comporte des moyens permettant d'envoyer alternativement le rayonnement intrinsèque du substrat revêtu vers le spectromètre optique (7) et vers le pyromètre ou détecteur supplémentaire (8), tels qu'un modulateur optique ou un miroir mobile.
- 21. Installation selon l'une quelconque des revendications 16 à 20, caractérisée en ce qu'elle est conformée pour qu'une seule lentille puisse être utilisée tant pour l'éclairage que pour la mesure et soit placée le long d'un axe sensiblement orthogonal à la surface du substrat.

22. Installation selon l'une quelconque des revendications 16 à 21, caractérisé en ce que la gamme opérationnelle

		de longueurs d'onde du spectrometre est comprise dans l'intervalle de 200 à 2500 nm.
5	23.	Installation selon l'une quelconque des revendications 16 à 22, <b>caractérisée en ce que</b> le spectromètre est utilisable comme appareil de mesure du facteur de réflexion spectrale dans la gamme de longueurs d'onde précitée.
	24.	Installation selon l'une quelconque des revendications 16 à 23, <b>caractérisée en ce qu'</b> elle peut être disposée à au moins 1 mètre de la surface du substrat.
10		
15		
13		
20		
25		
30		
35		
40		
45		
50		
55		







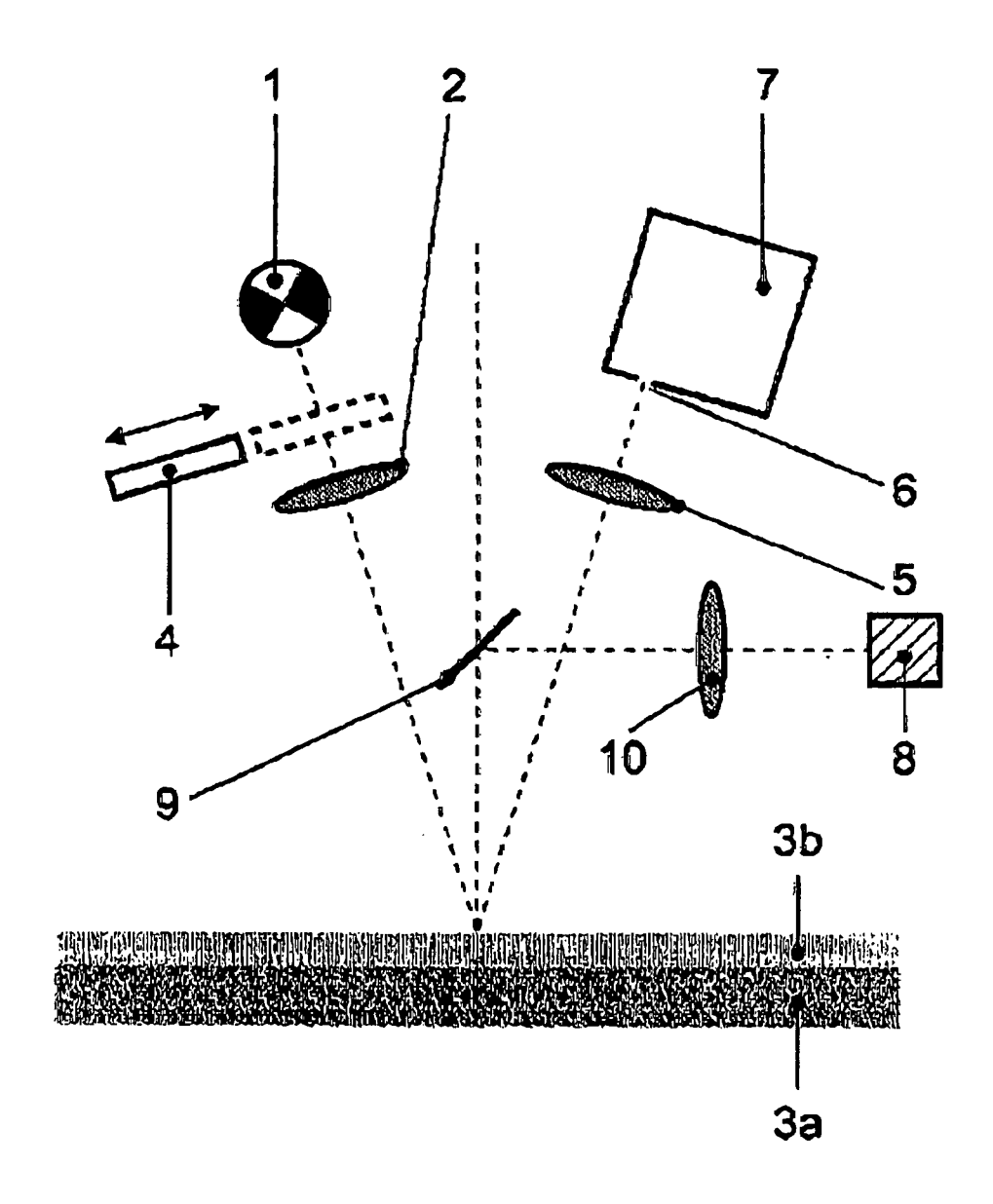


Fig. 4



# 

Numéro de la demande EP 05 44 7208

Catégorie	Citation du document avec des parties pertine	ndication, en cas de besoin, ntes		endication cernée	CLASSEMENT DE LA DEMANDE (IPC)
D,E	EP 1 593 929 A (CEN METALLURGIQUES ASBL RESEARCH IN DE) 9 novembre 2005 (20 * le document en en	- CENTRUM VOOR 05-11-09)	1		G01B11/06 G01J5/00
A	EP 0 408 015 A (DAI LTD) 16 janvier 199 * colonne 5, ligne *	1 (1991-01-16)		24	
А	BOEBEL F G ET AL: MEASUREMENT OF FILM TEMPERATURE BY USIN PYROMETRIC INTERFER IEEE TRANSACTIONS O MANUFACTURING, IEEE PISCATAWAY, NJ, US, vol. 6, no. 2, 1 ma pages 112-118, XP00 ISSN: 0894-6507 * le document en en	THICKNESS AND G MULTIPLE WAVELEN OMETRY (MWPI)" N SEMICONDUCTOR SERVICE CENTER, i 1993 (1993-05-01 0369971	GTHS	24	DOMAINES TECHNIQUES RECHERCHES (IPC)
D,A	PATENT ABSTRACTS OF vol. 1998, no. 13, 30 novembre 1998 (1 & JP 10 206125 A (N 7 août 1998 (1998-0 * abrégé *	998-11-30) IPPON STEEL CORP),	1,	16	G01B G01J
A	US 2003/176000 A1 ( 18 septembre 2003 ( * abrégé *		1,	16	
A	US 2002/192847 A1 ( 19 décembre 2002 (2 * abrégé *		1,	16	
Le pre	ésent rapport a été établi pour tou	tes les revendications			
I	ieu de la recherche	Date d'achèvement de la reche	rche		Examinateur
	La Haye	23 février	2006	de	Bakker, M
X : parti Y : parti autre	LITEGORIE DES DOCUMENTS CITES cullièrement pertinent à lui seul cullièrement pertinent en combinaison document de la même catégorie re-plan technologique	E : docum date de avec un D : cité dat L : cité pou	ou principe à la ent de brevet an dépôt ou après ns la demande ir d'autres raison	térieur, mai cette date ns	
O : divu	re-pian technologique Igation non-écrite Iment intercalaire				ment correspondant

## ANNEXE AU RAPPORT DE RECHERCHE EUROPEENNE RELATIF A LA DEMANDE DE BREVET EUROPEEN NO.

EP 05 44 7208

La présente annexe indique les membres de la famille de brevets relatifs aux documents brevets cités dans le rapport de recherche européenne visé ci-dessus.

Lesdits members sont contenus au fichier informatique de l'Office européen des brevets à la date du Les renseignements fournis sont donnés à titre indicatif et n'engagent pas la responsabilité de l'Office européen des brevets.

23-02-2006

	cument brevet cité apport de recherche		Date de publication	N far	Membre(s) de la mille de brevet(s)	Date de publication
EP	1593929	Α	09-11-2005	BE	1016003 A3	10-01-20
EP	0408015	Α	16-01-1991	US	5101111 A	31-03-19
JP	10206125	Α	07-08-1998	AUCUN		
US	2003176000	A1	18-09-2003	AUCUN		
US	2002192847	A1	19-12-2002	AUCUN		

Pour tout renseignement concernant cette annexe : voir Journal Officiel de l'Office européen des brevets, No.12/82

**EPO FORM P0460**